

ГЕТЕРОСТРУКТУРЫ С ТУННЕЛЬНО ТОНКИМИ (20–50 Å)  
ПОВЕРХНОСТНЫМИ  $Al_xGa_{1-x}As$  –СЛОЯМИ,  
ПОЛУЧЕННЫМИ МЕТОДОМ ЖФЭ

В.М. Андреев, А.А. Воднев,  
В.Р. Ларионов, К.Я. Расулов,  
В.Д. Румянцев, В.П. Хвостиков

Метод низкотемпературной жидкофазной эпитаксии позволяет осуществлять прецизионную кристаллизацию квантово-размерных  $Al_xGa_{1-x}As$  гетероструктур при скоростях кристаллизации, сравнимых со скоростями роста, реализуемыми в методах молекулярно-пучковой и МОС-гидридной эпитаксии [1–4]. На основе структур с толщиной активной области 120–160 Å методом низкотемпературной ЖФЭ нами в последнее время были изготовлены низкопороговые гетеролазеры с раздельным ограничением со значениями пороговой плотности тока  $j_{\text{пор}} = 175 \text{ A/cm}^2$  (300 K) при длине резонатора Фабри-Перо  $L = 1.1 \text{ mm}$ ,  $220 \text{ A/cm}^2$  при  $L = 0.3 \text{ mm}$  и  $270 \text{ A/cm}^2$  при  $L = 0.18 \text{ mm}$ . Полученные величины  $j_{\text{пор}}$  на „длинных“ лазерах ( $L > 1 \text{ mm}$ ) сравнимы с лучшими значениями  $j_{\text{пор}}$  в лазерах на основе  $Al_xGa_{1-x}As$ -гетероструктур, изготовленных методами молекулярно-пучковой и МОС-гидридной эпитаксий, а также жидкофазной эпитаксией  $GaAs$ – $InGaAsP$  гетероструктур [5, 6]. Значения же  $j_{\text{пор}}$ , полученные нами в лазерах с  $L < 0.3 \text{ mm}$ , ниже лучших опубликованных к настоящему времени величин  $j_{\text{пор}}$  для таких „коротких“ лазеров.

В настоящей работе приводятся результаты исследования низкотемпературной кристаллизации из жидкой фазы туннельно-тонких широкозонных „поверхностных“ слоев  $Al_xGa_{1-x}As$  ( $x = 0.6–0.8$ ) на подложках из  $GaAs$ . Данные структуры обеспечивают дополнительные возможности для измерения толщин и исследования планарности и сплошности туннельно-тонких слоев (ТТС) путем исследования распределения по поверхности структур фотоответа и интенсивности фотолюминесценции в  $GaAs$  при генерации носителей тока через сверхтонкое широкозонное „окно“. При этом используется эффект пассивации поверхности  $GaAs$  слоем твердого раствора, что обеспечивает значительно большую интенсивность фотолюминесценции и большее значение фотоответа в местах, защищенных широкозонным слоем по сравнению со „свободной“ поверхностью  $GaAs$ .

Оценка толщин ТТС осуществлялась в данной работе методом ступенчатого анодного окисления с одновременным измерением фотоответа и интенсивности фотолюминесценции. Предварительно было установлено соотношение толщины стравливаемого слоя  $Al_xGa_{1-x}As$  ( $x = 0.6–0.8$ ) к величине анодного напряжения, составившее в наших экспериментах  $10–15 \text{ \AA/V}$ . При определении этого соотношения использовался комплекс методик измерения толщин сверхтонких

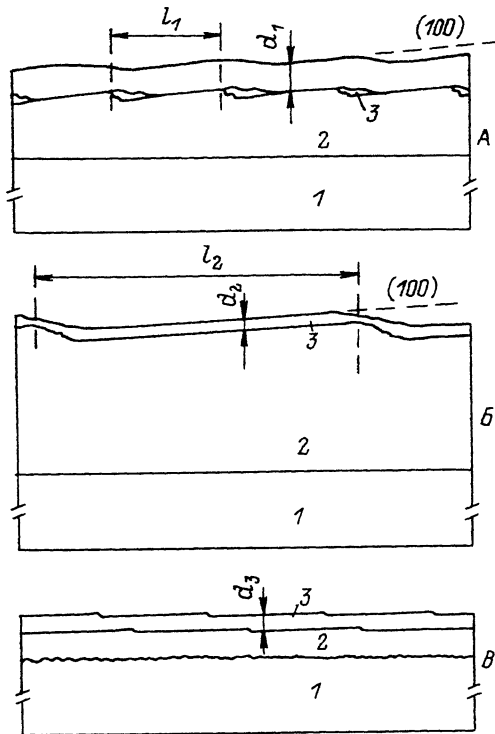


Рис. 1. Схематическое изображение трех типичных случаев роста туннельно-тонких слоев (3) при различном рельефе поверхности буферного слоя (2)  $GaAs$  на подложке (1) из  $GaAs$ .

слоев, разработанных в работах [2, 3, 7], а также методы Оже-профилирования и эллипсометрии.

При получении исследованных в данной работе структур сначала на подложке  $GaAs$  кристаллизовался буферный слой  $GaAs$  толщиной от  $10^{-2}$  до 5 мкм. Замена состава жидкой фазы перед началом роста ТТС осуществлялась при  $T = 400$  °C принудительным вытеснением предыдущего расплава без  $Al$  расплавом с  $Al$  [1-4]. Из исследований распределения фотоответа и интенсивности фотолюминесценции по поверхности исходных структур, а также при послойном стравливании ТТС методом анодного окисления было установлено, что характер роста ТТС зависит в значительной степени от рельефа поверхности  $GaAs$  перед началом роста. При этом можно выделить три наиболее характерных варианта, изображенных на рис. 1. Схемы А и Б показывают варианты ЖФЭ, в которых перед ростом ТТС кристаллизуются буферные слои (2) с рельефом, определяемым выклиниванием плоскости (100).

В варианте А характерное расстояние между выступами микрорельефа составляет  $l_1 = 1\text{--}10$  мкм, что меньше длины диффузионного смещения атомов мышьяка за время 10–100 с, соответствующее времени роста ТТС. В этом случае при высоте неравностей, сравнимой с толщиной ТТС, рост слоя твердого раствора (слой 3 на рис. 1А) в начальный момент происходит преимущественно на склонах углублений в местах выхода на поверхность высокониндексных плоскостей, характеризующихся большей скоростью роста. В этом случае сплошной слой вырастает только при его толщине  $d_1$ , превышающей высоту микронеровностей.

В варианте Б, реализующемся при большей толщине буферного эпитаксиального слоя (2)  $GaAs$ , его огранка плоскостью (100) достигается на значительно больших (1–5 мм) участках  $l_2$ , превышающих длину диффузии атомов мышьяка за время роста ТТС. Именно на этих ограниченных участках происходил рост планарных туннельно-тонких слоев (3) с толщиной 20–50 Å.

Вариант В реализуется при кристаллизации слоев  $Al_xGa_{1-x}As$  на гладкой поверхности  $GaAs$ , получаемой при выращивании достаточно тонких буферных слоев. В этом случае планарный рост ТТС обеспечивается по всей поверхности подложки. О планарности и сплошности слоев толщиной 20–50 Å свидетельствует равномерность фотоответа и интенсивности фотолюминесценции структуры  $GaAs-Al_xGa_{1-x}As$ , уменьшающейся одновременно по всей поверхности после стравливания слоя твердого раствора методом анодного окисления при напряжении 1.5–2 В для структур с  $d = 20\text{--}30$  Å и 3–4 В при  $d = 40\text{--}50$  Å.

Из исследований зависимости фотоответа структур  $n\text{-}GaAs-p\text{-}GaAs-p\text{-}Al_xGa_{1-x}As$  от толщины широкозонного слоя было установлено, что квантовый выход фотоответа  $Q \approx 0.85$  сохраняется при уточнении широкозонного слоя до  $d \approx 50$  Å. При  $d < 30\text{--}50$  Å наблюдается уменьшение величины  $Q$  вследствие туннельного выброса генерированных светом носителей тока на поверхность твердого раствора. При полном стравливании слоя твердого раствора значение  $Q$  уменьшается до уровня  $Q \leq 0.2$  (рис. 2,а). Кривая 2 на рис. 2,а с наиболее резким спадом фотоответа при  $U_d \approx 6$  В получена на структуре, в которой толщина слоя твердого раствора, измеренная методом Оже-профилирования, составила 70 Å.

Экспериментальные значения толщин слоев, определенные рассмотренным методом анодного окисления, в зависимости от времени кристаллизации при  $T = 400$  °C показаны на рис. 2,б. Разброс экспериментальных данных связан как с погрешностью измерений толщины ТТС, так и с небольшими вариациями состава твердого раствора, скорости охлаждения и темпа замены расплавов перед началом роста ТТС. Расчетные кривые на рис. 2,б получены с учетом только диффузионного механизма доставки растворенного вещества к плоскости кристаллизации при коэффициенте диффузии мышьяка в расплаве, принятом равным  $10^{-5}$  см<sup>2</sup> с<sup>-1</sup>, и критическом переохлаждении в расплаве до приведения его в контакт с подложкой 15 и 10 °C (кривые 1 и 2 соответственно). Как сле-

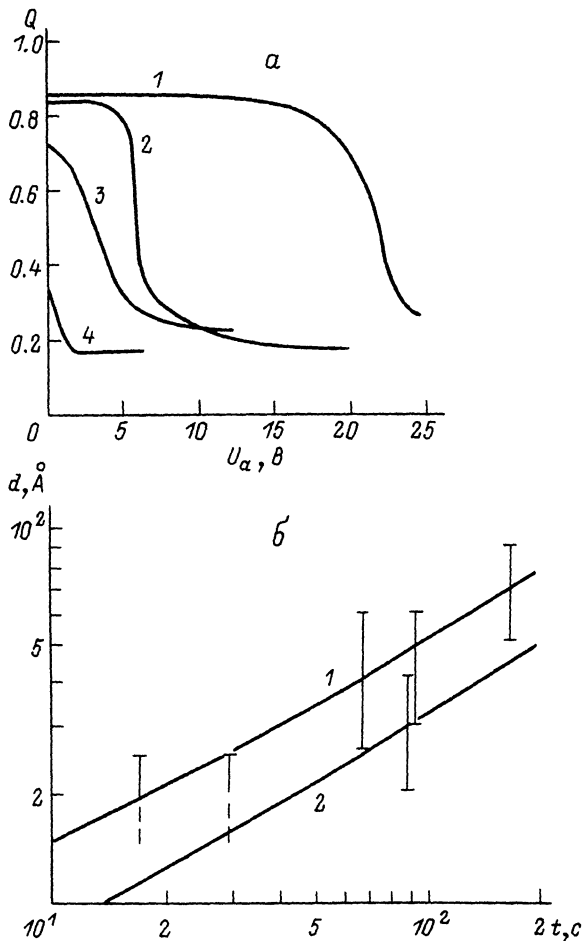


Рис. 2. Зависимость коэффициента собирания носителей тока в 4-х структурах  $n\text{-GaAs}-p\text{-GaAs}-p\text{-Al}_x\text{Ga}_{1-x}\text{As}$  ( $x \approx 0.7$ ) с различной толщиной слоя твердого раствора от величины приложенного при анодном окислении напряжения (а) и расчетные кривые (1, 2) и экспериментальные значения толщин слоев  $\text{Al}_x\text{Ga}_{1-x}\text{As}$  ( $x = 0.6\text{--}0.8$ ) в зависимости от времени роста при  $T = 400^\circ\text{C}$  (б).

дует из рис. 2, а, скорости кристаллизации ТТС при  $T = 400^\circ\text{C}$  составляют  $0.5\text{--}1 \text{ \AA/s}$ .

Таким образом, в работе методом низкотемпературной ЖФЭ получены планарные туннельно-тонкие „поверхностные“ слои  $\text{Al}_x\text{Ga}_{1-x}\text{As}$ , при кристаллизации которых на ранней стадии гетероэпитаксии реализован слоевой механизм роста при подавлении островкового механизма кристаллизации. Данные структуры с уль-

тратонкими потенциальными барьерами, получаемые относительно простым методом ЖФЭ, представляют несомненный интерес для ряда практических применений, например, для создания высокоеф-фективных фотопреобразователей ультрафиолетового излучения и приборов, работа которых основана на эффекте туннелирования через тонкие потенциальные барьеры.

В заключение авторы выражают признательность Г.А. Медвед-кину и В.А. Поссе за помощь в эксперименте, Б.Я. Беру за про-ведение Оже-анализа, К.Ю. Погребицкому, Н.Н. Фалееву, В.Е. Уман-скому и С.Г. Конникову за электронно-микроскопические и рентге-новские эмиссионные исследования, Ж.И. Алферову за внимание к данной работе.

## Л и т е р а т у р а

- [1] Алферов Ж.И., Андреев В.М., Воднев А.А., Ивентьев О.О., Ларионов В.Р., Румянцев В.Д. - ФТП, 1986, т. 20, в. 2, с. 381-383.
- [2] Андреев В.М., Ивентьева О.О., Конни-ков С.Г., Погребицкий К.Ю., Пурон Э., Сулима О.В., Фалеев Н.Н. - Письма в ЖТФ, 1986. т. 12, в. 9, с. 533-537.
- [3] Алферов Ж.И., Андреев В.М., Воднев А.А., Конников С.Г., Ларионов В.Р., Погре-бицкий К.Ю., Румянцев В.Д., Хвости-ков В.П. - Письма в ЖТФ, 1986, т. 12, в. 18, с. 1089-1093.
- [4] Андреев В.М., Воднев А.А., Минтай-ров А.М., Румянцев В.Д., Хвостиков В.П. - ФТП, 1987, т. 21, в. 7, с. 1212-1216.
- [5] Алферов Ж.И., Антонишкис Н.Ю., Ар-сентьев И.Н., Гарбузов Д.З., Красов-ский В.В., Тикунов А.В., Халфин В.Б. - ФТП, 1987, т. 21, в. 1, с. 162-164.
- [6] Алферов Ж.И., Арсентьев И.Н., Вави-лова Л.С., Гарбузов Д.З., Красовский В.В. - ФТП, 1984, т. 18, в. 9, с. 1655-1658.
- [7] Арсентьев И.Н., Гарбузов Д.З., Конни-ков С.Г., Погребицкий К.Ю., Свелоку-зов А.Е., Фалеев Н.Н., Чудинов А.В. - ФТП, 1986, т. 20, в. 12, с. 2206-2211.

Поступило в Редакцию  
20 апреля 1988 г.